

01;03

Нелинейный анализ волнового движения на поверхности струи в продольном электрическом поле, движущейся в диэлектрической среде

© А.И. Григорьев, С.О. Ширяева, Н.А. Петрушов, Н.А. Полянцева

Ярославский государственный университет им. П.Г. Демидова,
150000 Ярославль, Россия
e-mail: grig@uniyar.ac.ru

(Поступило в Редакцию 5 декабря 2011 г.)

Проанализирована возможность вырожденного внутреннего нелинейного резонансного взаимодействия капиллярных волн с произвольной симметрией (с произвольными азимутальными числами) на поверхности заряженной цилиндрической струи идеальной несжимаемой электропроводной жидкости, движущейся относительно идеальной несжимаемой диэлектрической среды коллинеарно внешнему однородному электростатическому полю. Показано, что, в частности, для осесимметричных волн реализуются 6 различных резонансных ситуаций, при которых первичные волны и волны, порождаемые нелинейностью уравнений гидродинамики, обмениваются между собой энергией.

Введение

Исследование устойчивости цилиндрической струи, движущейся относительно среды в коллинеарном оси симметрии невозмущенной струи электростатическом поле, представляет интерес в связи с изучением электродиспергирования жидкости [1–3]. Дестабилизирующее влияние относительного движения внешней среды [4] и стабилизирующее влияние внешнего поля [5] делают проблему неоднозначной. Эта проблема частично исследована в работах [6,7], где, однако, расчеты проведены лишь в нелинейном приближении по безразмерной амплитуде волн.

Постановка задачи

Пусть струя идеальной несжимаемой жидкости с плотностью ρ_1 и диэлектрической проницаемостью ϵ_{in} движется с постоянной скоростью U_0 относительно идеальной несжимаемой диэлектрической среды с плотностью ρ_2 и диэлектрической проницаемостью ϵ_{ex} . Коэффициент поверхностного натяжения границы раздела сред σ .

Задачу будем решать в цилиндрической системе координат, начало отсчета которой связано с осью струи. Возмущенная колебаниями поверхность жидкости отклоняется от равновесной поверхности $r = R$ на величину ξ

$$r = R + \xi(\varphi, z, t).$$

Решение будем искать в безразмерных переменных, в которых $R = \sigma = \rho_1 = 1$. Обозначения физических величин оставим прежние. Для решения задачи воспользуемся асимптотическим методом многих временных масштабов [3]. Будем рассматривать 3 порядка малости — нулевой, первый и второй соответственно, для обозначения которых будем использовать индексы 0, 1, 2.

Математическая формулировка задачи

Математическая формулировка задачи состоит из уравнений Эйлера для струи и внешней среды, которую будем моделировать несжимаемой жидкостью,

$$\partial_t \mathbf{U}_{ex} + (\mathbf{U}_{ex}, \nabla) \mathbf{U}_{ex} = -\frac{1}{\rho} \nabla P_{ex},$$

$$\partial_t \mathbf{U}_{in} + (\mathbf{U}_{in}, \nabla) \mathbf{U}_{in} = -\nabla P_{in},$$

$$\operatorname{div} \mathbf{U}_{ex} = 0, \quad \operatorname{div} \mathbf{U}_{in} = 0, \quad \operatorname{div} \mathbf{E}_{ex} = 0, \quad \operatorname{div} \mathbf{E}_{in} = 0.$$

Индексом „ex“ отмечены величины, относящиеся к внешней среде, а индексом „in“ — к струе.

Граничные условия к задаче имеют вид

$$r \rightarrow 0: \quad \mathbf{U}_{in} \rightarrow 0, \quad \mathbf{E}_{in} \rightarrow 0,$$

$$r \rightarrow \infty: \quad \mathbf{U}_{ex} \rightarrow -\mathbf{U}_0, \quad \mathbf{E} \rightarrow \mathbf{E}_0,$$

$$r = R + \xi: \quad \frac{dF}{dt} = 0, \quad F = r - R - \xi(\varphi, z, t),$$

$$U_{nex} = U_{nin} = U_n, \quad E_{nex} = \frac{\epsilon_{in}}{\epsilon_{ex}} E_{nin}, \quad E_{\tau in} = E_{\tau ex},$$

$$-P_{ex} + P_{in} + P_E - P_\sigma = 0,$$

$$P_E = -\frac{\epsilon_{in}}{8\pi} [E_{ex}^2 - 2E_{nex}^2] + \frac{\epsilon_{ex}}{8\pi} [E_{in}^2 - 2E_{nin}^2],$$

$$P_\sigma = \sigma \operatorname{div} \mathbf{n}.$$

Скаляризация

Считая движение среды потенциальным, воспользуемся моделью потенциального течения жидкости. Скорости выразятся через гидродинамические потенциалы следующим образом:

$$\mathbf{U}_{ex} = \nabla \varphi, \quad \mathbf{U}_{in} = \nabla \psi.$$

Уравнения неразрывности запишутся в следующем виде:

$$\Delta\varphi = 0, \quad \Delta\psi = 0.$$

Введение гидродинамических потенциалов позволяет проинтегрировать уравнение Эйлера для струи и среды

$$P_{\text{ex}} = -\rho\partial_t\varphi - \frac{\rho}{2}(\nabla\varphi)^2 + \rho f_{\text{ex}}(t),$$

$$P_{\text{in}} = -\partial_t\psi - \frac{1}{2}(\nabla\psi)^2 + f_{\text{in}}(t),$$

где $f_{\text{in}}(t)$ и $f_{\text{ex}}(t)$ — константы интегрирования, $\rho \equiv \rho_{\text{ex}}/\rho_{\text{in}}$.

Запишем выражение для напряженности электрического поля через электростатический потенциал

$$\mathbf{E}_{\text{ex}} = -(\nabla\Phi_{\text{ex}}), \quad \mathbf{E}_{\text{in}} = -(\nabla\Phi_{\text{in}})$$

и подставим в уравнения Максвелла

$$\Delta\Phi_{\text{ex}} = 0, \quad \Delta\Phi_{\text{in}} = 0.$$

Граничные условия примут вид

$$r \rightarrow 0: \quad \nabla\psi \rightarrow 0, \quad \nabla\Phi_{\text{in}} \rightarrow 0,$$

$$r \rightarrow \infty: \quad \nabla\varphi \rightarrow U_0\mathbf{e}_z, \quad \nabla\Phi_{\text{ex}} \rightarrow -E_0\mathbf{e}_z,$$

$$r \rightarrow 1 + \xi: \quad \frac{dF}{dt} = -\partial_t F + (\nabla, \nabla\psi) = 0,$$

$$(\mathbf{n}, \nabla\varphi) = (\mathbf{n}, \nabla\psi),$$

$$(\mathbf{n}, \nabla\Phi_{\text{in}}) = \frac{\varepsilon_{\text{in}}}{\varepsilon_{\text{ex}}}(\mathbf{n}, \nabla\Phi_{\text{ex}}), \quad (\boldsymbol{\tau}, \nabla\Phi_{\text{in}}) = (\boldsymbol{\tau}, \nabla\Phi_{\text{ex}}).$$

Выражение для давления электрических сил запишется следующим образом:

$$P_E = -\frac{\varepsilon_{\text{ex}}}{8\pi} [\nabla\Phi_{\text{ex}}^2 - 2(\mathbf{n}, \nabla\Phi_{\text{ex}})^2] + \frac{\varepsilon_{\text{in}}}{8\pi} [\nabla\Phi_{\text{in}}^2 - 2(\mathbf{n}, \nabla\Phi_{\text{in}})^2].$$

Разложение на порядки малости

Разложение будем проводить до второго порядка малости, используя метод многих временных масштабов. Разложения для гидродинамических и электрических потенциалов, давлений и возмущения поверхности струи имеют следующий вид:

$$\varphi = \varphi^{(0)} + \varepsilon\varphi^{(1)} + \varepsilon^2\varphi^{(2)} + O(\varepsilon^3),$$

$$\psi = \varepsilon\psi^{(1)} + \varepsilon^2\psi^{(2)} + O(\varepsilon^3),$$

$$\Phi_{\text{ex}} = \Phi_{\text{ex}}^{(0)} + \varepsilon\Phi_{\text{ex}}^{(1)} + \varepsilon^2\Phi_{\text{ex}}^{(2)} + O(\varepsilon^3),$$

$$\Phi_{\text{in}} = \Phi_{\text{in}}^{(0)} + \varepsilon\Phi_{\text{in}}^{(1)} + \varepsilon^2\Phi_{\text{in}}^{(2)} + O(\varepsilon^3),$$

$$P_{\text{ex}} = P_{\text{ex}}^{(0)} + \varepsilon P_{\text{ex}}^{(1)} + \varepsilon^2 P_{\text{ex}}^{(2)} + O(\varepsilon^3),$$

$$P_{\text{in}} = P_{\text{in}}^{(0)} + \varepsilon P_{\text{in}}^{(1)} + \varepsilon^2 P_{\text{in}}^{(2)} + O(\varepsilon^3),$$

$$\xi(\varphi, z, t) = \varepsilon\xi_1(\varphi, z, T_0, T_1) + \varepsilon^2\xi_2(\varphi, z, T_0) + O(\varepsilon^3). \quad (1)$$

Дифференцирование по времени проводится по правилу

$$\frac{\partial}{\partial t} \equiv \frac{\partial}{\partial T_0} + \varepsilon \frac{\partial}{\partial T_1} + \varepsilon^2 \frac{\partial}{\partial T_2}. \quad (2)$$

Решения задачи в нулевом, первом и втором порядках малости

Подставляя разложения (1), (2) в решаемую задачу, разобьем ее по порядкам малости.

Задача нулевого порядка малости примет вид:

$$\Delta\varphi^{(0)} = 0, \quad \Delta\psi^{(0)} = 0, \quad \Delta\Phi_{\text{in}}^{(0)} = 0, \quad \Delta\Phi_{\text{ex}}^{(0)} = 0,$$

$$r \rightarrow 0: \quad \nabla\Phi_{\text{in}}^{(0)} \rightarrow 0,$$

$$r \rightarrow \infty: \quad \nabla\varphi^{(0)} \rightarrow U_0\mathbf{e}_z, \quad \nabla\Phi_{\text{ex}}^{(0)} \rightarrow -E_0\mathbf{e}_z,$$

$$r \rightarrow 1: \quad \Phi_{\text{in}}^{(0)} = \Phi_{\text{ex}}^{(0)}, \quad P_{\text{ex}} = -\frac{1}{2}\rho\partial_z\varphi^{(0)} + f_{\text{ex}}(T_0, T_1),$$

$$P_{\text{in}} = f_{\text{in}}(T_0, T_1), \quad P_\sigma = 1,$$

$$P_E = -\frac{E_{\text{ex}}}{8\pi} \left(\partial_z \Phi_{\text{ex}}^{(0)} \right)^2 \Big|_{r \rightarrow 1} + \frac{E_{\text{in}}}{8\pi} \left(\partial_z \Phi_{\text{in}}^{(0)} \right)^2 \Big|_{r \rightarrow 1}.$$

Ее решения имеют вид

$$\varphi^{(0)} = U_0 z, \quad \Phi_{\text{ex}}^{(0)} = -E_0 z, \quad \Phi_{\text{in}}^{(0)} = -E_0 z.$$

Задача первого порядка малости

$$\Delta\varphi^{(1)} = 0, \quad \Delta\psi^{(1)} = 0, \quad \Delta\Phi_{\text{in}}^{(1)} = 0, \quad \Delta\Phi_{\text{ex}}^{(1)} = 0,$$

$$r \rightarrow 0: \quad \nabla\psi^{(1)} \rightarrow 0, \quad \nabla\Phi_{\text{in}}^{(1)} \rightarrow 0,$$

$$r \rightarrow \infty: \quad \nabla\varphi^{(1)} \rightarrow 0, \quad \nabla\Phi_{\text{ex}}^{(1)} \rightarrow 0,$$

$$\frac{dF}{dt} = -\partial_{T_0}\xi_1 + \partial_r\psi^{(1)} = 0,$$

$$\partial_r\psi^{(1)} = -\partial_z\varphi^{(0)}\partial_z\xi_1 + \partial_r\varphi^{(1)},$$

$$\varepsilon_{\text{in}} \left(\partial_z \Phi_{\text{in}}^{(0)} \partial_z \xi_1 - \partial_r \Phi_{\text{in}}^{(1)} \right) = \varepsilon_{\text{ex}} \left(\partial_z \Phi_{\text{ex}}^{(0)} \partial_z \xi_1 - \partial_r \Phi_{\text{ex}}^{(1)} \right),$$

$$\Phi_{\text{in}}^{(1)} = \Phi_{\text{ex}}^{(1)}, \quad P_{\text{ex}} = \rho \left(-\partial_{T_0}\varphi^{(1)} - \partial_z\varphi^{(0)}\partial_z\varphi^{(1)} \right),$$

$$P_{\text{in}} = \partial_{T_0}\psi^{(1)}, \quad P_\sigma = -\xi^{(1)} - \partial_{z,z}\xi^{(1)} - \partial_{\varphi,\varphi}\xi^{(1)},$$

$$P_E = -\frac{E_{\text{ex}}}{4\pi} \partial_z \Phi_{\text{ex}}^{(0)} \partial_z \Phi_{\text{ex}}^{(1)} + \frac{E_{\text{in}}}{4\pi} \partial_z \Phi_{\text{in}}^{(0)} \partial_z \Phi_{\text{in}}^{(1)}.$$

Отыскание решений первого порядка малости не представляет трудности и может быть проведено по схеме, подробно описанной в работе [3]. Оно ищется в виде разложений по бегущим цилиндрическим волнам:

$$\xi^{(1)}(\varphi, z, t) = \int_0^\infty \sum_{m=0}^\infty \alpha_m(t) \exp(im\varphi) \exp(ikz) dk,$$

$$\begin{aligned} \psi^{(1)}(\mathbf{r}, t) &= \int_0^\infty \sum_{m=0}^\infty C_m^{(1)}(t) I_m(kr) \exp(im\varphi) \exp(ikz) dk, \\ \varphi^{(1)}(\mathbf{r}, t) &= -Uz \\ &+ \int_0^\infty \sum_{m=0}^\infty C_m^{(2)}(t) K_m(kr) \exp(im\varphi) \exp(ikz) dk, \\ \Phi_{\text{in}}(\mathbf{r}, t) &= -E_0z \\ &+ \int_0^\infty \sum_{m=0}^\infty C_m^{(3)}(t) I_m(kr) \exp(im\varphi) \exp(ikz) dk, \\ \Phi_{\text{ex}}(\mathbf{r}, t) &= -E_0z \\ &+ \int_0^\infty \sum_{m=0}^\infty C_m^{(4)}(t) K_m(kr) \exp(im\varphi) \exp(ikz) dk, \end{aligned}$$

где i — мнимая единица, k — волновое число, m — азимутальный параметр, $I_m(kr)$ и $K_m(kr)$ — модифицированные функции Бесселя первого и второго рода соответственно [8], $\alpha_m(t)$ и $C_m^{(j)}(t)$ — зависящие от времени неизвестные амплитудные функции первого порядка малости.

Дисперсионное уравнение задачи получится из условия совместности граничных условий в виде

$$\begin{aligned} -\omega^2 - \omega \frac{2\rho k U_0 g_m(k)}{\rho g_m(k) - h_m(k)} + \frac{g_m(k)}{1 - \rho \frac{g_m(k)}{h_m(k)}} \left(\frac{\rho k^2 U_0^2}{h_m(k)} \right. \\ \left. + \frac{1}{4\pi} \frac{(\varepsilon_{\text{ex}} - \varepsilon_{\text{in}})^2 k^2 E_0^2}{(\varepsilon_{\text{in}} g_m(k) - \varepsilon_{\text{ex}} h_m(k))} - (1 - k^2 - m^2) \right) = 0, \\ h_m(k) \equiv \frac{k K_m'(k)}{K_m(k)}, \quad g_m(k) \equiv \frac{k I_m'(k)}{I_m(k)} \end{aligned}$$

и будет иметь два решения

$$\begin{aligned} \omega_1 &= k U_0 \gamma_m(k) + \sqrt{k^2 U_0^2 \gamma_m^2(k) + 4\omega_0(m, k)}, \\ \omega_2 &= k U_0 \gamma_m(k) - \sqrt{k^2 U_0^2 \gamma_m^2(k) + 4\omega_0(m, k)}, \\ \gamma_m(k) &\equiv \frac{\rho g_m(k)}{\rho g_m(k) - h_m(k)}, \\ \omega_0^2(m, k) &\equiv \frac{g_m(k)}{1 - \rho \frac{g_m(k)}{h_m(k)}} \left(\frac{\rho k^2 U_0^2}{h_m(k)} \right. \\ &\left. + \frac{1}{4\pi} \frac{(\varepsilon_{\text{ex}} - \varepsilon_{\text{in}})^2 k^2 E_0^2}{[\varepsilon_{\text{in}} g_m(k) - \varepsilon_{\text{ex}} h_m(k)]} - (1 - k^2 - m^2) \right), \end{aligned}$$

где ω — циклическая частота. Частоты ω_1 и ω_2 соответствуют двум различным капиллярным волнам на поверхности струи. При определенных значениях физических параметров радикалы в полученных выражениях обращаются в нуль и волны сливаются в одну.

Задача второго порядка малости

$$\begin{aligned} \Delta\varphi^{(2)} = 0, \quad \Delta\psi^{(2)} = 0, \quad \Delta\Phi_{\text{in}}^{(2)} = 0, \quad \Delta\Phi_{\text{ex}}^{(2)} = 0, \\ r \rightarrow 0: \quad \nabla\psi^{(2)} \rightarrow 0, \quad \nabla\Phi_{\text{in}}^{(2)} \rightarrow 0, \\ r \rightarrow \infty: \quad \nabla\varphi^{(2)} \rightarrow 0, \quad \nabla\Phi_{\text{ex}}^{(2)} \rightarrow 0, \\ \frac{dF}{dt} = -\partial_{T_0}\xi_2 - \partial_{T_1}\xi_1 + \partial_r\psi^{(2)} - \partial_z\xi_1\partial_z\psi^{(1)} \\ - \partial_\varphi\xi_1\partial_\varphi\psi^{(1)} + \xi_1\partial_{rr}\psi^{(1)} = 0, \\ \left(\partial_r\psi^{(2)} - \partial_z\xi_1\partial_z\psi^{(1)} - \partial_\varphi\xi_1\partial_\varphi\psi^{(1)} + \xi_1\partial_{rr}\psi^{(1)} \right) \\ = \left(-\partial_z\varphi^{(0)}\partial_z\xi_2 + \partial_r\varphi^{(2)} - \partial_z\xi_1\partial_z\varphi^{(1)} \right. \\ \left. - \partial_\varphi\xi_1\partial_\varphi\varphi^{(1)} + \xi_1\partial_{rr}\varphi^{(1)} \right), \\ E_{\text{in}} \left(\partial_z\Phi_{\text{in}}^{(0)}\partial_z\xi_2 - \partial_r\Phi_{\text{in}}^{(2)} + \partial_z\xi_1\partial_z\Phi_{\text{in}}^{(1)} \right. \\ \left. + \partial_\varphi\xi_1\partial_\varphi\Phi_{\text{in}}^{(1)} - \xi_1\partial_{rr}\Phi_{\text{in}}^{(1)} \right) \\ = E_{\text{ex}} \left(\partial_z\Phi_{\text{ex}}^{(0)}\partial_z\xi_2 - \partial_r\Phi_{\text{ex}}^{(2)} + \partial_z\xi_1\partial_z\Phi_{\text{ex}}^{(1)} \right. \\ \left. + \partial_\varphi\xi_1\partial_\varphi\Phi_{\text{ex}}^{(1)} - \xi_1\partial_{rr}\Phi_{\text{ex}}^{(1)} \right), \\ \left(\Phi_{\text{in}}^{(2)} + \xi_1\partial_r\Phi_{\text{in}}^{(1)} \right) = \left(\Phi_{\text{ex}}^{(2)} + \xi_1\partial_r\Phi_{\text{ex}}^{(1)} \right), \\ P_{\text{ex}} = \rho \left(-\partial_{T_0}\varphi^{(2)} - \partial_z\varphi^{(0)}\partial_z\varphi^{(2)} - \partial_{T_1}\varphi^{(1)} \right. \\ \left. - \frac{1}{2}(\partial_z\varphi^{(1)})^2 - \frac{1}{2}(\partial_\varphi\varphi^{(1)})^2 - \frac{1}{2}(\partial_r\varphi^{(1)})^2 \right. \\ \left. - \xi_1\partial_{r,T_0}\varphi^{(1)} - \xi_1\partial_z\varphi^{(0)}\partial_{r,z}\varphi^{(1)} \right), \\ P_{\text{in}} = -\partial_{T_0}\psi^{(2)} - \partial_{T_1}\psi^{(1)} - \frac{1}{2}(\partial_z\psi^{(1)})^2 \\ - \frac{1}{2}(\partial_\varphi\psi^{(1)})^2 - \frac{1}{2}(\partial_r\psi^{(1)})^2 - \xi_1\partial_{r,T_0}\psi^{(1)}, \\ P_\sigma = (\xi_1^{(1)})^2 - \xi_1^{(2)} - \partial_{z,z}\xi_1^{(2)} - \partial_\varphi\varphi\xi_1^{(2)} \\ - \frac{1}{2}(\partial_z\xi_1^{(1)})^2 - \frac{1}{2}(\partial_\varphi\xi_1^{(1)})^2 + 2\xi_1^{(1)}\partial_\varphi\varphi\xi_1^{(1)}, \\ P_E = \frac{E_{\text{ex}}}{8\pi} \left(-2\partial_z\Phi_{\text{ex}}^{(0)}\partial_z\Phi_{\text{ex}}^{(2)} + 2\partial_z\Phi_{\text{ex}}^{(0)}\partial_z\xi_1^{(1)} - (\partial_z\Phi_{\text{ex}}^{(1)})^2 \right. \\ \left. - (\partial_\varphi\Phi_{\text{ex}}^{(1)})^2 + (\partial_r\Phi_{\text{ex}}^{(1)})^2 - 4\partial_z\Phi_{\text{ex}}^{(0)}\partial_z\xi_1^{(1)}\partial_r\Phi_{\text{ex}}^{(1)} \right. \\ \left. - 2\xi_1^{(1)}\partial_z\Phi_{\text{ex}}^{(0)}\partial_{r,z}\Phi_{\text{ex}}^{(1)} \right) - \frac{E_{\text{in}}}{8\pi} \left(-2\partial_z\Phi_{\text{in}}^{(0)}\partial_z\Phi_{\text{in}}^{(2)} \right. \\ \left. + 2\partial_z\Phi_{\text{in}}^{(0)}\partial_z\xi_1^{(1)} - (\partial_z\Phi_{\text{in}}^{(1)})^2 - (\partial_\varphi\Phi_{\text{in}}^{(1)})^2 + (\partial_r\Phi_{\text{in}}^{(1)})^2 \right. \\ \left. - 4\partial_z\Phi_{\text{in}}^{(0)}\partial_z\xi_1^{(1)}\partial_r\Phi_{\text{in}}^{(1)} - 2\xi_1^{(1)}\partial_z\Phi_{\text{in}}^{(0)}\partial_{r,z}\Phi_{\text{in}}^{(1)} \right). \end{aligned}$$

Перегруппируем слагаемые в уравнениях — потенциалы и функцию ξ перенесем влево, а все остальные слагаемые — вправо. В итоге получим неоднородную систему уравнений. Сгруппируем неоднородность по степеням экспоненты $\exp(-2i\omega_1 T_0)$, $\exp(2i\omega_2 T_0)$, $\exp[iT_0(\omega_2 - \omega_1)]$. Решения для потенциалов и функции ξ будем искать в виде

$$\begin{aligned} \psi^{(2)} = & \{A_1 \exp(-2i\omega_1 T_0) + A_2 \exp(2i\omega_2 T_0) \\ & + A_3 \exp[iT_0(\omega_2 - \omega_1)] + A_4 \exp(-2i\omega_1 T_0 + iM\varphi) \\ & + A_5 \exp(2i\omega_2 T_0 + iM\varphi) + A_6 \exp[iT_0(\omega_2 - \omega_1)]\} \\ & \times \exp(iLz)I_M(Lr), \end{aligned}$$

$$\begin{aligned} \varphi^{(2)} = & \{B_1 \exp(-2i\omega_1 T_0) + B_2 \exp(2i\omega_2 T_0) \\ & + B_3 \exp[iT_0(\omega_2 - \omega_1)] + B_4 \exp(-2i\omega_1 T_0 + iM\varphi) \\ & + B_5 \exp(2i\omega_2 T_0 + iM\varphi) + B_6 \exp[iT_0(\omega_2 - \omega_1)]\} \\ & \times \exp(iLz)K_M(Lr), \end{aligned}$$

$$\begin{aligned} \Phi_{\text{in}}^{(2)} = & \{C_1 \exp(-2i\omega_1 T_0) + C_2 \exp(2i\omega_2 T_0) \\ & + C_3 \exp[iT_0(\omega_2 - \omega_1)] + C_4 \exp(-2i\omega_1 T_0 + iM\varphi) \\ & + C_5 \exp(2i\omega_2 T_0 + iM\varphi) + C_6 \exp[iT_0(\omega_2 - \omega_1)]\} \\ & \times \exp(iLz)I_M(Lr), \end{aligned}$$

$$\begin{aligned} \Phi_{\text{ex}}^{(2)} = & \{D_1 \exp(-2i\omega_1 T_0) + D_2 \exp(2i\omega_2 T_0) \\ & + D_3 \exp[iT_0(\omega_2 - \omega_1)] + D_4 \exp(-2i\omega_1 T_0 + iM\varphi) \\ & + D_5 \exp(2i\omega_2 T_0 + iM\varphi) + D_6 \exp[iT_0(\omega_2 - \omega_1)]\} \\ & \times \exp(iLz)K_M(Lr), \end{aligned}$$

$$\begin{aligned} \xi^{(2)} = & \{\alpha_1 \exp(-2i\omega_1 T_0) + \alpha_2 \exp(2i\omega_2 T_0) \\ & + \alpha_3 \exp[iT_0(\omega_2 - \omega_1)] + \alpha_4 \exp(-2i\omega_1 T_0 + iM\varphi) \\ & + \alpha_5 \exp(2i\omega_2 T_0 + iM\varphi) + \alpha_6 \exp[iT_0(\omega_2 - \omega_1)]\} \\ & \times \exp(iLz), \end{aligned}$$

где $L \equiv 2k$, $M \equiv 2m$ [8].

Подставим решения в левые части уравнений полученной неоднородной системы и сгруппируем результат по экспонентам с различными показателями. В матрич-

ном виде результат представится как

$$\begin{aligned} & \begin{pmatrix} -2i\omega_1 & iLU_0 & -iE_0L(\varepsilon_{\text{ex}} - \varepsilon_{\text{in}}) & 1 - L^2 \\ -g_0(L) & g_0(L) & 0 & 2i\omega_1 \\ 0 & -h_0(L) & 0 & -i\rho(2\omega_1 - LU_0) \\ 0 & 0 & \varepsilon_{\text{in}}g_0(L) - \varepsilon_{\text{ex}}h_0(L) & \frac{iE_0L}{4\pi}(\varepsilon_{\text{ex}} - \varepsilon_{\text{in}}) \end{pmatrix} \\ & \times \exp(-2i\omega_1 T_0) \\ & + \begin{pmatrix} 2i\omega_2 & iLU_0 & -iE_0L(\varepsilon_{\text{ex}} - \varepsilon_{\text{in}}) & 1 - L^2 \\ -g_0(L) & g_0(L) & 0 & -2i\omega_2 \\ 0 & -h_0(L) & 0 & -i\rho(2\omega_2 - LU_0) \\ 0 & 0 & \varepsilon_{\text{in}}g_0(L) - \varepsilon_{\text{ex}}h_0(L) & \frac{iE_0L}{4\pi}(\varepsilon_{\text{ex}} - \varepsilon_{\text{in}}) \end{pmatrix} \\ & \times \exp(2i\omega_2 T_0) \\ & + \begin{pmatrix} -i(\omega_1 - \omega_2) & iLU_0 & -iE_0L(\varepsilon_{\text{ex}} - \varepsilon_{\text{in}}) & 1 - L^2 \\ -g_0(L) & g_0(L) & 0 & 2i(\omega_1 - \omega_2) \\ 0 & -h_0(L) & 0 & i\rho(LU_0(\omega_1 - \omega_2)) \\ 0 & 0 & \varepsilon_{\text{in}}g_0(L) - \varepsilon_{\text{ex}}h_0(L) & \frac{iE_0L}{4\pi}(\varepsilon_{\text{ex}} - \varepsilon_{\text{in}}) \end{pmatrix} \\ & \times \exp[iT_0(\omega_2 - \omega_1)] \\ & + \begin{pmatrix} 2i\omega_1 & iLU_0 & -iE_0L(\varepsilon_{\text{ex}} - \varepsilon_{\text{in}}) & 1 - L^2 - M^2 \\ -g_M(L) & g_M(L) & 0 & 2i\omega_1 \\ 0 & -h_M(L) & 0 & i\rho(LU_0 - 2\omega_1) \\ 0 & 0 & \varepsilon_{\text{in}}g_M(L) - \varepsilon_{\text{ex}}h_M(L) & \frac{iE_0L}{4\pi}(\varepsilon_{\text{ex}} - \varepsilon_{\text{in}}) \end{pmatrix} \\ & \times \exp(-2i\omega_1 T_0 + iM\varphi) \\ & + \begin{pmatrix} 2i\omega_2 & iLU_0 & -iE_0L(\varepsilon_{\text{ex}} - \varepsilon_{\text{in}}) & 1 - L^2 - M^2 \\ -g_M(L) & g_M(L) & 0 & -2i\omega_2 \\ 0 & -h_M(L) & 0 & i\rho(LU_0 - 2\omega_2) \\ 0 & 0 & \varepsilon_{\text{in}}g_M(L) - \varepsilon_{\text{ex}}h_M(L) & \frac{iE_0L}{4\pi}(\varepsilon_{\text{ex}} - \varepsilon_{\text{in}}) \end{pmatrix} \\ & \times \exp(-2i\omega_2 T_0 + iM\varphi) \\ & + \begin{pmatrix} -i(\omega_1 - \omega_2) & iLU_0 & -iE_0L(\varepsilon_{\text{ex}} - \varepsilon_{\text{in}}) & 1 - L^2 - M^2 \\ -g_M(L) & g_M(L) & 0 & 2i(\omega_1 - \omega_2) \\ 0 & -h_M(L) & 0 & i\rho(LU_0 - (\omega_1 - \omega_2)) \\ 0 & 0 & \varepsilon_{\text{in}}g_M(L) - \varepsilon_{\text{ex}}h_M(L) & \frac{iE_0L}{4\pi}(\varepsilon_{\text{ex}} - \varepsilon_{\text{in}}) \end{pmatrix} \\ & \times \exp[iT_0(\omega_2 - \omega_1) + iM\varphi] = f, \end{aligned}$$

где f — функция неоднородности, сгруппированная по аналогичным экспонентам, а выражения в строках — коэффициенты при неизвестных амплитудах A , B , C и α .

Разбивая полученную систему на отдельные системы при экспонентах с различными показателями степени,

получим 6 уравнений вида

$$\begin{pmatrix} -2i\omega_1 & iLU_0 & -iE_0L(\varepsilon_{ex} - \varepsilon_{in}) & 1 - L^2 \\ -g_0(L) & g_0(L) & 0 & 2i\omega_1 \\ 0 & -h_0(L) & 0 & -i\rho(2\omega_1 - LU_0) \\ 0 & 0 & \varepsilon_{in}g_0(L) - \varepsilon_{ex}h_0(L) & \frac{iE_0L}{4\pi}(\varepsilon_{ex} - \varepsilon_{in}) \end{pmatrix} = \begin{pmatrix} -2ib(m, k)(2k^2 - g_m(k)) \\ 2i(b(m, k) - f_1(m, k))(2k^2 - g_m(k)) \\ \frac{2ikE_0(\varepsilon_{ex} - \varepsilon_{in})^2(2k^2 - g_m(k))}{(-\varepsilon_{in}g_m(k) + \varepsilon_{ex}h_m(k))} \\ 2 + k^2 - 3m^2 + b(m, k)^2(k^2 - m^2 - 3g_m(k^2)) \\ +\rho f_1(m, k)^2(-k^2 + m^2 + h_m(k)^2) \\ +2\rho f_1(m, k)h_m(k)(-kU_0 + \omega_1) \\ + \frac{E_0^2k^2(\varepsilon_{ex} - \varepsilon_{in})}{4\pi(\varepsilon_{in}g_m(k) - \varepsilon_{ex}h_m(k))^2} \\ \times [(k^2 - m^2)(\varepsilon_{ex} - \varepsilon_{in})^2 - 3(\varepsilon_{in}g_m(k) - \varepsilon_{ex}h_m(k))^2 - \varepsilon_{ex}\varepsilon_{in}(g_m(k) - h_m(k))^2], \end{pmatrix} \quad (3)$$

где $b(m, k)$ и $f_1(m, k)$ — функции от m и k , явный вид которых не выписывается в связи с экономией места. Решать уравнение (3) будем методом Крамера. Обозначим матрицу, стоящую слева, M_1 . Ее определитель после упрощения примет вид

$$\text{Det}(M_1) = -[\rho g_0(L) - h_0(L)][\varepsilon_{in}g_0(L) - \varepsilon_{ex}h_0(L)] \times [\omega_1(0, L) - 2\omega_1(m, k)][2\omega_1(m, k) + \omega_2(0, L)],$$

где $\omega_1(0, L)$, $\omega_2(0, L)$ — частоты волн второго порядка малости, $\omega_1(m, k)$ — частота волны первого порядка малости. Решением для коэффициента A_1 будет отношение определителей

$$A_1 = \frac{\text{Det}(M)}{\text{Det}(M_1)}, \quad (4)$$

где $\text{Det}(M)$ — определитель матрицы M_1 , в которой первый столбец заменен на стоящий справа столбец функции неоднородности. Не будем записывать полученное выражение для A_1 ввиду его громоздкости. Решения для коэффициентов B_1 , C_1 , D_1 и α_1 находятся аналогично.

Выпишем определители всех матриц, стоящих в уравнениях слева,

$$\text{Det}(M_2) = -[\rho g_0(L) - h_0(L)][\varepsilon_{in}g_0(L) - \varepsilon_{ex}h_0(L)] \times [\omega_2(0, L) - 2\omega_2(m, k)][2\omega_2(m, k) + \omega_1(0, L)],$$

$$\text{Det}(M_3) = -[\rho g_0(L) - h_0(L)][\varepsilon_{in}g_0(L) - \varepsilon_{ex}h_0(L)] \times [\omega_1(0, L) - \Omega(m, k)][\Omega(m, k) + \omega_2(0, L)],$$

$$\begin{aligned} \text{Det}(M_4) &= -[\rho g_M(L) - h_M(L)][\varepsilon_{in}g_M(L) - \varepsilon_{ex}h_M(L)] \\ &\times [\omega_1(M, L) - 2\omega_1(m, k)][2\omega_1(m, k) + \omega_2(M, L)], \\ \text{Det}(M_5) &= -[\rho g_M(L) - h_M(L)][\varepsilon_{in}g_M(L) - \varepsilon_{ex}h_M(L)] \\ &\times [\omega_2(M, L) - 2\omega_2(m, k)][2\omega_2(m, k) + \omega_1(M, L)], \\ \text{Det}(M_6) &= -[\rho g_M(L) - h_M(L)][\varepsilon_{in}g_M(L) - \varepsilon_{ex}h_M(L)] \\ &\times [\omega_1(M, L) - \Omega(m, k)][\Omega(m, k) + \omega_2(M, L)], \\ \Omega(m, k) &\equiv \omega_1(m, k) - \omega_2(m, k). \end{aligned} \quad (5)$$

Полученные определители стоят в знаменателях выражений типа (4). Если какой-либо из определителей обратится в нуль, то соответствующая амплитуда колебаний будет стремиться к бесконечности. В теории колебаний это интерпретируется как резонансное взаимодействие волн [9,10].

Проведем анализ полученных определителей, имея в виду зависимости положений резонансных ситуаций от физических параметров.

Анализ результатов

Проанализируем знаменатель в (3), соответствующий резонансному взаимодействию волны с частотой с индексом „один“, с произвольной симметрией с осесимметричной модой с удвоенным волновым числом. Он имеет вид

$$\text{Det}(M_1) = -[\rho g_0(L) - h_0(L)][\varepsilon_{in}g_0(L) - \varepsilon_{ex}h_0(L)] \times [\omega_1(0, L) - 2\omega_1(m, k)][2\omega_1(m, k) + \omega_2(0, L)].$$

Видно, что при определенных соотношениях между частотами $\omega_1(0, L)$ и $\omega_1(m, k)$ знаменатель обратится в нуль за счет третьего множителя, пропорционального разности $[\omega_1(0, L) - 2\omega_1(m, k)]$. Результаты расчетов для осесимметричной моды капиллярных волн приведены на рис. 1, а. Видно, что при докритических (в смысле реализации электростатической неустойчивости поверхности струи, реализующейся, согласно [3], при $W \approx 2.9$) зарядах на границе раздела сред и скоростях движения струи менее 40 резонансное взаимодействие реализуется в области малых значений волновых чисел. Следует отметить, что скорость обезразмеривается на $\sigma/R\rho_{in}$. Принятые при расчетах (приведенные на графиках) значения скорости, например для струи воды, следует умножить на ~ 30 при $R = 0.1$ см, чтобы получить значение скорости, измеренное в см/с. Реальная скорость спонтанных струй измеряется в сотнях сантиметров в секунду [11]. Увеличение напряженности внешнего поля приведет к смещению резонансных значений в сторону меньших значений волновых чисел и в сторону увеличения скоростей. Увеличение плотности окружающей среды приведет к смещению резонансных значений в сторону меньших значений волновых чисел и в сторону уменьшения скоростей. На рис. 1, б приведены результаты расчетов для изгибной волны ($m = 1$) на поверхности

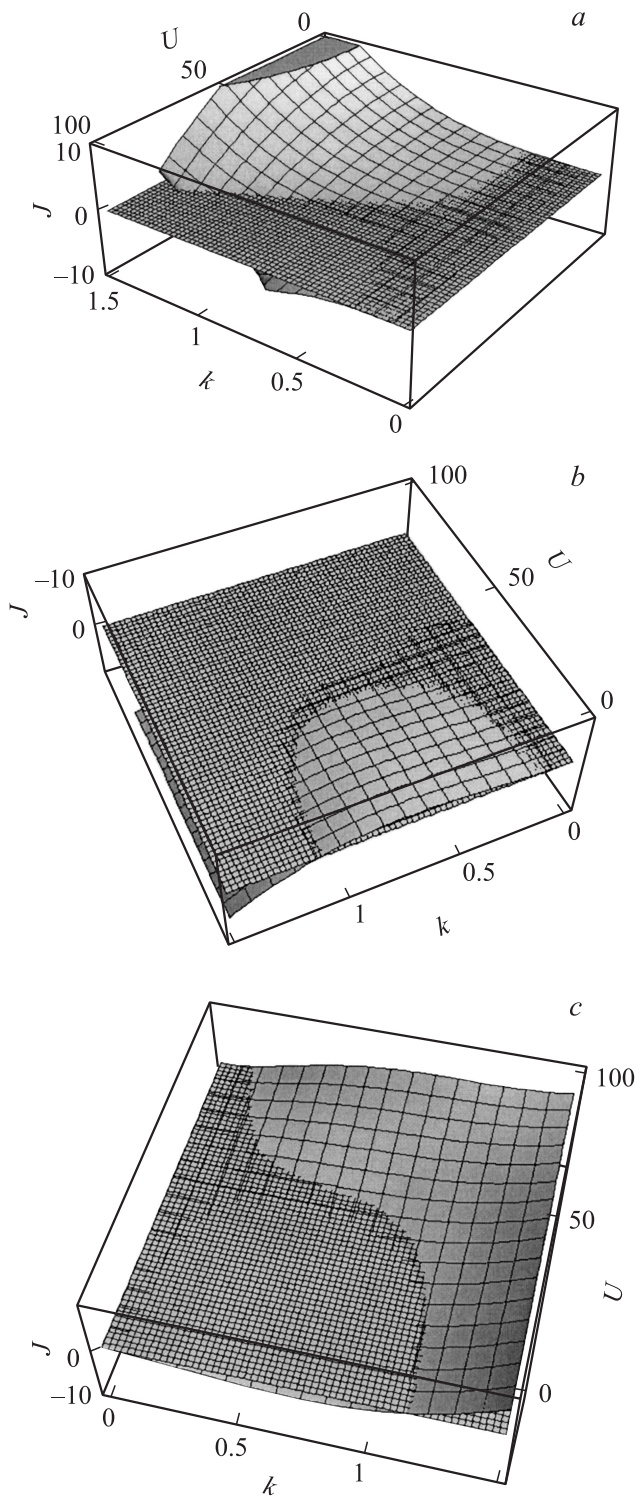


Рис. 1. Зависимости поверхности $J \equiv [\omega_1(0, L) - 2\omega_1(m, k)] \times [2\omega_1(m, k) + \omega_2(0, L)]$ от безразмерных скорости и волнового числа (U и k), рассчитанные при безразмерной плотности окружающей среды $\rho = 0.001$: a — $m = 0$, $W = 1$; b — $m = 1$, $W = 1$; c — $m = 1$, $W = 2$.

струи в воздухе. Видно, что при реально отмечаемых в эксперименте скоростях струи резонансной передачи энергии не происходит. Увеличение напряженности

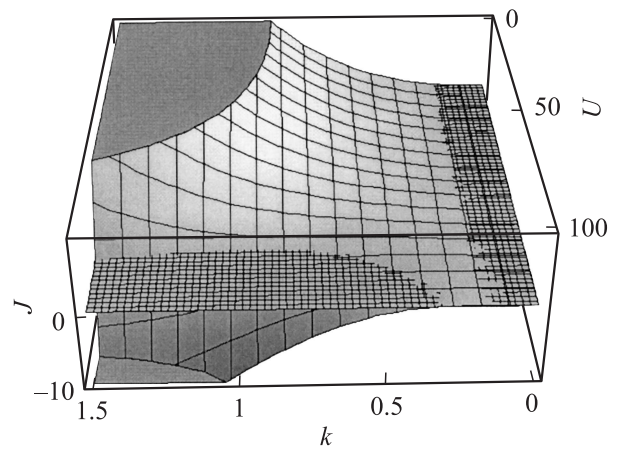


Рис. 2. Зависимость поверхности $J \equiv [\omega_1(0, L) - \Omega(m, k)] \times [\Omega(m, k) + \omega_2(0, L)]$ от безразмерных скорости и волнового числа (U и k), рассчитанная при фиксированном $W = 1$, $m = 0$, $\rho = 0.001$.

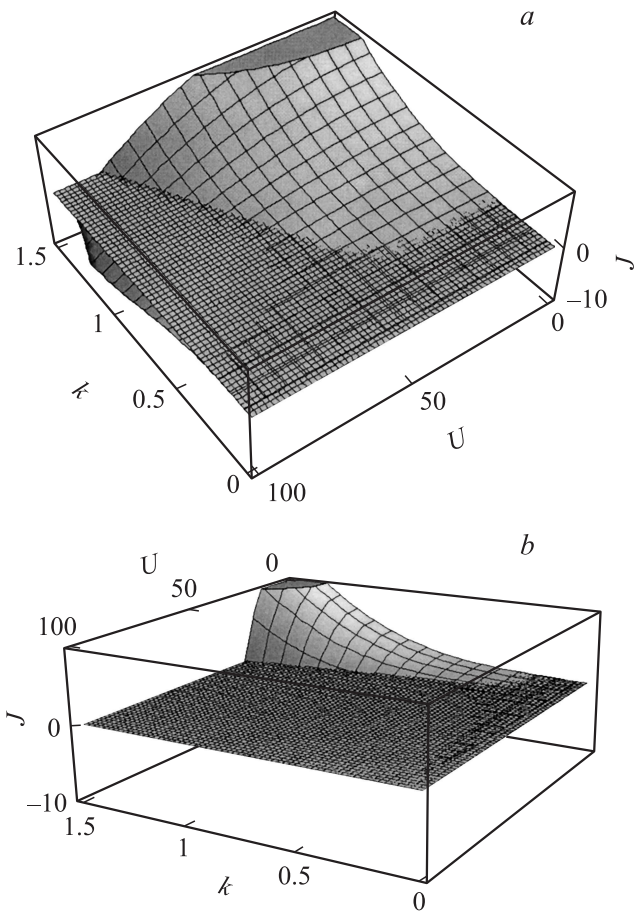


Рис. 3. Зависимость поверхности $J \equiv [\omega_1(M, L) - 2\omega_1(m, k)] \times [2\omega_1(m, k) + \omega_2(M, L)]$ от безразмерных скорости и волнового числа (U и k), рассчитанная при $m = 0$, $W = 1$: a — $\rho = 0.001$, b — $\rho = 0.01$.

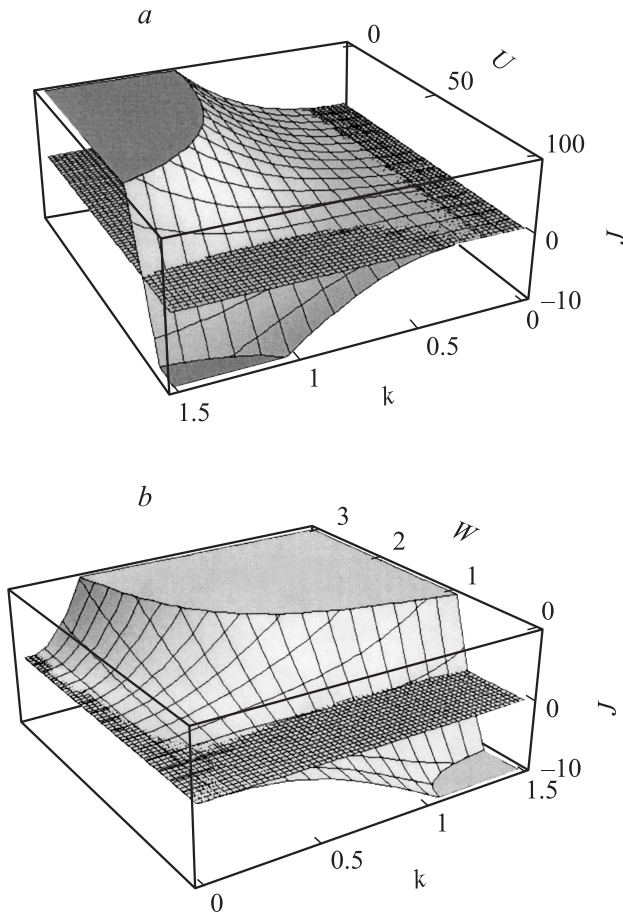


Рис. 4. Зависимости поверхности $J \equiv [\omega_1(M, L) - \Omega(m, k)] \times [\Omega(m, k) + \omega_2(M, L)]$, рассчитанные при $\rho = 0.001$, $m = 0$: *a* — от безразмерных скорости и волнового числа (U и k) при $W = 1$; *b* — от безразмерных полевого параметра W и волнового числа k , при значении безразмерной скорости $U = 75$.

внешнего поля вдвое приводит к появлению резонансов для разумных значений волновых чисел и разумных скоростей струи, как это видно из рис. 1, с.

Для исследования второй резонансной ситуации, когда волна с частотой с индексом „два“ с произвольной симметрией резонансно взаимодействует с осесимметричной модой с удвоенным волновым числом, нужно проанализировать $\text{Det}(M_2)$ (см. (5)). В качественном отношении ситуация складывается такая же, как в уже проанализированном случае.

Третья резонансная ситуация определяется $\text{Det}(M_3)$ и соответствует взаимодействию осесимметричной волны с частотой с индексом „один“ и удвоенным волновым числом k с волной частотой $\omega_1(m, k) - \omega_2(m, k)$. Тенденции изменения решений такие же, как отмечены выше, как видно из рис. 2.

Четвертая резонансная ситуация определяется $\text{Det}(M_4)$, проиллюстрирована рис. 3, *a* и соответствует взаимодействию волны с произвольной симметрией и частотой с индексом „один“ с удвоенным волновым

числом k с волной с частотой индекса „один“. При увеличении плотности окружающей среды геометрическое место точек, соответствующее реализации резонанса, смещается в область меньших значений скорости, как это видно из рис. 3, *b*.

Пятая резонансная ситуация определяется $\text{Det}(M_5)$ и аналогична предыдущей, только для волны с индексом „два“.

Шестая резонансная ситуация определяется $\text{Det}(M_6)$, аналогична разобранный выше третьей резонансной ситуации, только реализуется не для взаимодействия осесимметричной волны с волной произвольной симметрии, а для взаимодействия двух волн с произвольной симметрией и проиллюстрирована рис. 4. Из рис. 4, *b*, в частности, видно, что резонансное взаимодействие возможно только при внешних полях большой напряженности.

Заключение

Нелинейное исследование во втором порядке малости по безразмерной амплитуде капиллярных волн на поверхности струи идеальной жидкости, движущейся с постоянной скоростью относительно материальной среды, демонстрирует наличие шести вырожденных резонансов, из которых все могут реализоваться при реально регистрируемых скоростях движения струи и докритических (в смысле реализации электростатической неустойчивости) напряженностях внешнего поля.

Работа выполнена при поддержке грантов Рособрнауки № РНП 2.1.1/3776 и РФФИ № 09-01-00084.

Список литературы

- [1] Буряев Т.К., Верещагин И.П., Пашин Н.М. // Сильные электрические поля в технологических процессах. М.: Энергия, 1979. № 3. С. 87–105.
- [2] Григорьев А.И., Ширяева С.О. // Изв. РАН. МЖГ. 1994. № 3. С. 3–22.
- [3] Ширяева С.О., Григорьев А.И., Волкова М.В. Спонтанный капиллярный распад заряженных струй. Ярославль: Изд. ЯрГУ, 2007. 340 с.
- [4] Ширяева С.О. // ЖТФ. 2010. Т. 80. Вып. 2. С. 47–51.
- [5] Ширяева С.О. // Изв. РАН. МЖГ. 2010. № 3. С. 57–68.
- [6] Григорьев А.И., Ширяева С.О., Полянцев Н.А. // ЖТФ. 2011. Т. 81. Вып. 12. С. 56–62.
- [7] Григорьев А.И., Ширяева С.О., Полянцев Н.А. // ЭЖ „Исследовано в России“. [http://zhur\[nal.ape.relarn.ru/articles/2011/011.pdf](http://zhur[nal.ape.relarn.ru/articles/2011/011.pdf)
- [8] Абрамовиц М., Стиган И. Справочник по специальным функциям. М.: Наука, 1979. 830 с.
- [9] Tsatopoulos J.A., Brown R. // J. Fluid. Mech. 1984. Vol. 147. P. 373–395.
- [10] Natarayan R., Brown R.A. // Proc. Roy. Soc. London. Ser. A. 1987. Vol. 410. N 1838. P. 209–227.
- [11] Ширяева С.О., Григорьев А.И., Святченко А.А. Классификация режимов работы электрогидродинамических источников ионов. Препринт ИМ РАН № 25. Ярославль, 1993. 118 с.